

I - Principe de Huygens-Fresnel (formulation moderne)

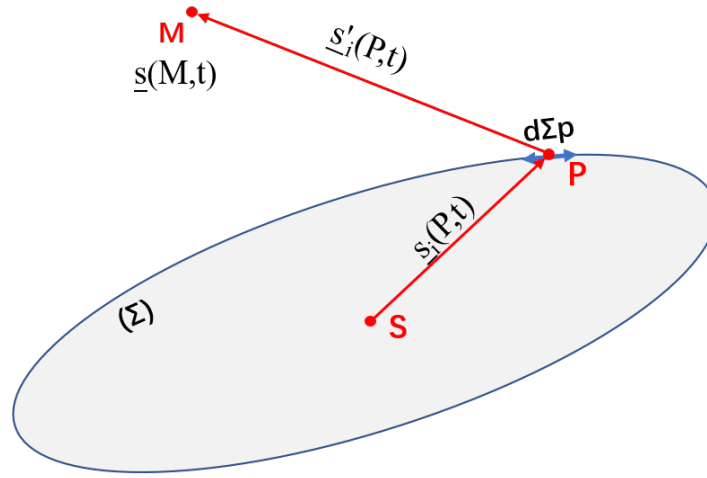


FIGURE 1 – Figure du système

Pour une source ponctuelle monochromatique S entourée d'une surface (Σ) . (Σ) peut être décomposée en éléments de surface $d\Sigma_P$ centré autour de points P .

Le signal reçu en P s'écrit $\underline{s}_i(P, t) = \underline{A}_i(P)e^{i\omega t}$, avec $\underline{A}_i(P)$ l'amplitude complexe, ω la pulsation de la source S

On peut considérer chaque élément de surface $d\Sigma_P$ comme une source secondaire ponctuelle qui émet des ondes sphériques. Les ondes issues de $d\Sigma_P$ ont la même pulsation ω que la source, et elles ont un déphasage nul avec l'onde incidente en P . Ses amplitudes sont proportionnelles à celle de l'onde incidente à la surface $d\Sigma_P$.

On obtient donc le signal émis par $d\Sigma_P$ est

$$\underline{s}'_i(P, t) = K \underline{A}_i(P) e^{i\omega t} d\Sigma_P$$

Donc le signal $\underline{s}(M, t)$ reçu en un point M étudié est la superposition des signaux émis par toutes les sources secondaires ponctuelles P , et les ondes sont incohérentes entre eux.

En faisant la superposition, on obtiene le signal reçu par M

$$\underline{s}(M, t) = \iint_{(\Sigma)} K * \underline{A}_i(P) e^{i(\omega t - \varphi(M))} d\Sigma_P$$

avec $\varphi(M) = k_0(PM) = \frac{2\pi}{\lambda_0}(PM)$ le déphasage, K est une constante de proportionnalité homogène à l'inverse d'une surface,

I.A - L'amplitude diffractée

On a déjà en point M , l'amplitude complexe s'écrit

$$\underline{A}_{diff}(M) = \underline{A}_{diff}(\alpha, \beta) = K \underline{A}_0 \int_{x=-\frac{a}{2}}^{x=\frac{a}{2}} \int_{y=-\frac{b}{2}}^{y=\frac{b}{2}} e^{-\frac{2i\pi}{\lambda_0}[(\alpha_0 - \alpha)x + (\beta_0 - \beta)y]} dx dy$$

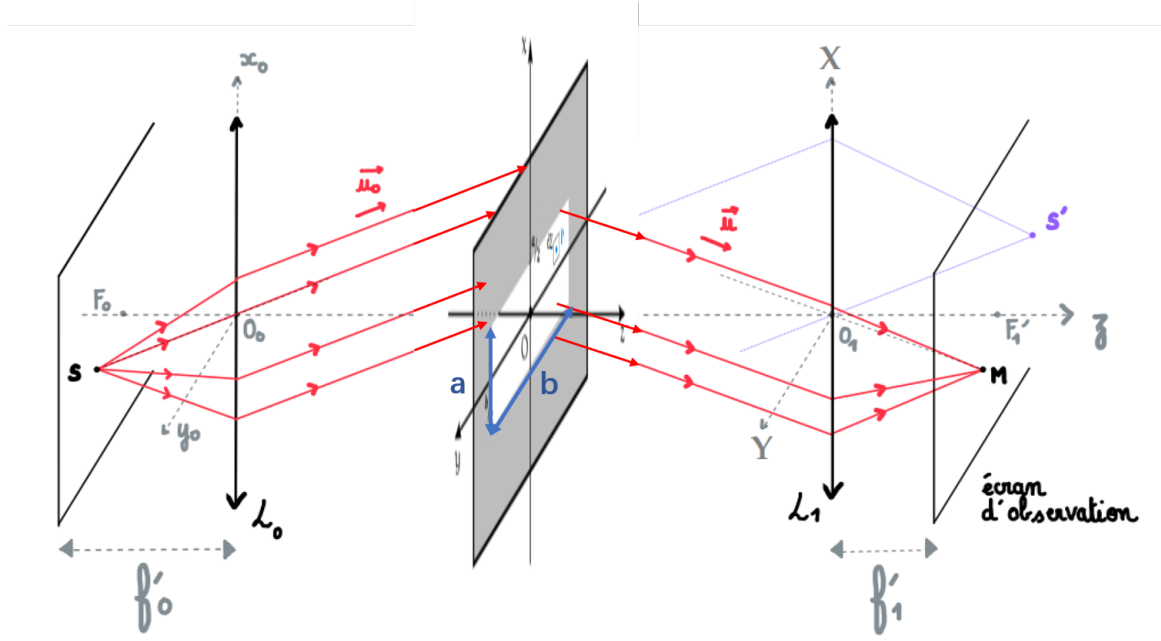


FIGURE 2 – L'amplitude diffractée pour conditions de Fraunhofer

Selon le théorème de Fubini, on a donc

$$A_{diff}(M) = K \underline{A}_0 \int_{x=-\frac{a}{2}}^{x=\frac{a}{2}} e^{-\frac{2i\pi}{\lambda_0}[(\alpha_0-\alpha)x]} dx \int_{y=-\frac{b}{2}}^{y=\frac{b}{2}} e^{-\frac{2i\pi}{\lambda_0}[(\beta_0-\beta)y]} dy$$

On a donc

$$\begin{aligned} \int_{x=-\frac{a}{2}}^{x=\frac{a}{2}} e^{-\frac{2i\pi}{\lambda_0}[(\alpha_0-\alpha)x]} dx &= \left[\frac{1}{-\frac{2i\pi}{\lambda_0}(\alpha_0-\alpha)} e^{-\frac{2i\pi}{\lambda_0}[(\alpha_0-\alpha)x]} \right]_{-\frac{a}{2}}^{\frac{a}{2}} \\ &= \frac{1}{-\frac{2i\pi}{\lambda_0}(\alpha_0-\alpha)} \left(e^{-\frac{i\pi}{\lambda_0}[(\alpha_0-\alpha)a]} - e^{\frac{i\pi}{\lambda_0}[(\alpha_0-\alpha)a]} \right) \\ &= \frac{1}{-\frac{2i\pi}{\lambda_0}(\alpha_0-\alpha)} \left(-2i \sin\left(\frac{\pi}{\lambda_0}[(\alpha_0-\alpha)a]\right) \right) \\ &= a \frac{\sin\left(\frac{a\pi}{\lambda_0}(\alpha_0-\alpha)\right)}{\frac{a\pi}{\lambda_0}(\alpha_0-\alpha)} \\ &= a \operatorname{sinc}\left(\frac{a\pi}{\lambda_0}(\alpha_0-\alpha)\right) \end{aligned}$$

De même,

$$\int_{y=-\frac{b}{2}}^{y=\frac{b}{2}} e^{-\frac{2i\pi}{\lambda_0}[(\beta_0-\beta)y]} dy = b \operatorname{sinc}\left(\frac{b\pi}{\lambda_0}(\beta_0-\beta)\right)$$

Donc

$$A_{diff}(M) = K \underline{A}_0 ab \operatorname{sinc}\left(\frac{a\pi}{\lambda_0}(\alpha_0-\alpha)\right) \operatorname{sinc}\left(\frac{b\pi}{\lambda_0}(\beta_0-\beta)\right)$$

Donc dans le cas de la diffraction à l'infini d'une onde monochromatique plane par une ouverture rectangulaire de surface ab , l'éclairement obtenu sur l'écran s'écrit

$$\begin{aligned}
 \mathcal{E}(M) &= \underline{A}_{diff}(M) \underline{A}_{diff}^*(M) \\
 &= K^2 \underline{A}_0 \underline{A}_0^* a^2 b^2 \operatorname{sinc}^2\left(\frac{a\pi}{\lambda_0}(\alpha_0 - \alpha)\right) \operatorname{sinc}^2\left(\frac{b\pi}{\lambda_0}(\beta_0 - \beta)\right) \\
 &= \boxed{\mathcal{E}_{max} \operatorname{sinc}^2\left(\frac{a\pi}{\lambda_0}(\alpha_0 - \alpha)\right) \operatorname{sinc}^2\left(\frac{b\pi}{\lambda_0}(\beta_0 - \beta)\right)}
 \end{aligned}$$

avec $\mathcal{E}_{max} = K^2 |\underline{A}_0|^2 a^2 b^2$, l'éclairement maximal, obtenu dans la direction de l'optique géométrique ($\alpha = \alpha_0, \beta = \beta_0$)